

Спиридов Э. М. Минералогия метаморфизованного плутоногенного золото-кварцевого месторождения Кочкарское, Южный Урал. I. Золото-теллуридные руды // ЗВМО. 1995. Вып. 6. С. 24—39.

Спиридов Э. М., Спиридов Ф. М., Юдин А. В. Новые данные о скиппените Bi₂TeSe₂ // Докл. РАН. 1995. Т. 343. № 2. С. 229—232.

Трухачев А. В. Формирование и закономерности распределения рудного золота Озерновского рудного поля в пределах участка Центральной Камчатки // Вестник ВГУ. Сер. Геол. 2008. № 8. С. 216—221.

Bayliss P. Crystal chemistry and crystallography of some minerals in the tetradyomite group // Amer. Miner. 1991. Vol. 76. P. 257—265.

Bindi L., Cipriani C. The crystal structure of skippennite, Bi₂Se₂Te, from the Kochkar deposit, Southern Urals, Russian Federation // Canad. Miner. 2004. Vol. 42. P. 835—840.

Cook N. J., Ciobanu C. L. Paragenesis of Cu-Fe ores from Ocna de Fier-Dogenecea (Romania), typifying fluid plume mineralization in a proximal skarn setting // Miner. Mag. 2001. Vol. 65. P. 351—372.

Cook N. J., Ciobanu C. L., Wagner T., Stanley C. J. Minerals of the system Bi-Te-Se-S related to the tetradyomite archetype: review of classification and compositional variation // Canad. Miner. 2007. Vol. 45. P. 665—708.

Dobbe R. T. M. Tellurides, selenides and associated minerals in the Tunaberg copper deposits, SE Bergslagen, Central Sweden // Mineral. Petrol. 1991. Vol. 44. P. 89—106

Johan Z., Picot P., Rhulmann F. The ore mineralogy of the Otish Mountains uranium deposit, Quebec: skippenite, Bi₂Se₂Te and watkinsonite Cu₂PbBi₄(Se,S)₈, two new mineral species // Canad. Miner. 1987. Vol. 25. P. 625—638.

Kovalenker V. A., Plotinskaya O. Yu. Te and Se mineralogy of Ozernovskoe and Prasolovskoe gold deposits, Kuril-Kamchatka volcanic belt // IGCP Project 486, Field Workshop 2005 // Geochem. Miner. Petrol. Sofia. 2005. Vol. 43. P. 118—123.

Miller R. Kawazulite Bi₂Te₂Se, related bismuth minerals, and selenian covellite from the Northwest Territories // Canad. Miner. 1981. Vol. 19. P. 341—348.

Nakajima S. The crystal structure of Bi₂Te_{3-x}Se_x // J. Phys. Chem. Solid. 1963. Vol. 24. P. 479—485.

Vanhainen E. Geology, mineralogy and geochemistry of the Fe-Co-Au-(U) deposits in the Paleoproterozoic Kuusamo Schist Belt, north eastern Finland // Geol. Surv. Finland Bull. 2001. Vol. 399. 229 p.

Поступила в редакцию
3 октября 2013 г.

УДК 552.113+552.112+552.13

ЗРМО, № 2, 2014 г.
Zapiski RMO, N 2, 2014

© Д. чл. А. В. КОЛОСКОВ, В. В. АНАНЬЕВ, М. Ю. ПУЗАНКОВ

АМФИБОЛ В ЧЕТВЕРТИЧНЫХ ГАВАЙИТАХ КЕКУКНАЙСКОГО ВУЛКАНИЧЕСКОГО МАССИВА (КАМЧАТКА) КАК ПОКАЗАТЕЛЬ ДЕКОМПРЕССИОННОЙ ЭВОЛЮЦИИ РАСПЛАВОВ ПОВЫШЕННОЙ ЩЕЛОЧНОСТИ

Институт вулканологии и сейсмологии ДВО РАН,
683006, Петропавловск-Камчатский, бульвар Пицца, 9;
e-mail avv@kscnet.ru

Охарактеризованы составы амфиболов и продуктов их распада в ходе декомпрессионной эволюции расплавов гавайитов четвертичного Кекукнайского вулканического массива (Западная Камчатка). Отмечаются два типа распада амфибола — реакционный и объемный. Температура образования амфибола оценивается величиной 1054 °C, содержание H₂O — 6 ± 0.9 (мас. %), log f_{O₂} — 9.3 ± 0.4 (NNO). Давление меняется от 6.6 до 2.5 кбар. Появление сопутству-

ющих ему высокомагнезиальных оливинов и пироксенов возможно в изотермической обстановке при значительном росте фугитивности кислорода.

Ключевые слова: амфибол, оливин, клинопироксен, опацитовая каемка, Кекукнайский вулканический массив, Камчатка.

A. V. KOLOSKOV, V. V. ANANIEV, M. YR. PUZANKOV. AMPHIBOLE IN THE QUATERNARY HAWAIIITES OF THE KEKUKNAI VOLCANIC MASSIF (KAMCHATKA) AS A MARK OF DECOMPRESSION EVOLUTION OF THE HIGH-ALKALINITY MELTS

Compositions of amphiboles and products of their disintegration were studied with the purpose to estimate the decompression evolution of hawaiite melt in the Quaternary Kekuknai volcanic massif (West Kamchatka). There were noted two types of the disintegration: amphibole-reactionary and three-dimensional ones. Temperature of the amphibole formation is determined as 1054 °C, $H_2O = 6 \pm 0.9$ (wt %), $\log f_{O_2} = 9.3 \pm 0.4$ (NNO). The pressure varies from 6.6 kb to 2.5 kb. The appearance of accompanying high magnesium olivines and clinopyroxenes is possible in the isothermal situation with significant increase of the oxygen fugacity.

Key words: Kekulnai volcanic massif, amphiboles, olivines, clinopyroxenes, dissociation.

ВВЕДЕНИЕ

Присутствие фенокристаллов амфибала в вулканических породах базальтового состава, как свидетельство их высокой водонасыщенности — явление весьма редкое, хотя вкрапленники этого минерала в породах более кислого состава обычны, а амфибол-содержащие габброиды распространены весьма широко.

Редкие находки вкрапленников амфибала известны в тефре трахибазальтов шлакового конуса на западе Мексики (Luhr, Carmichael, 1985; Barclay, Carmichael, 2004), в щелочных базальтах на о-ве Богослов, восточные Алеуты (Arculus et al., 1977), на Малых Антилах (Sigurdsson, Shepherd, 1974), в трахибазальтах вулкана Этна (Corsaro et al., 2007; Viccaro et al., 2007). Характерной особенностью амфиболов вулканических пород является наличие в них непрозрачных полиминеральных опацитовых кайм, которые обычно рассматриваются как результат контактово-реакционного взаимодействия кристаллов с несущим их магматическим расплавом. В зависимости от соотношения основных минералов этих кайм (ортопироксен, клинопироксен, плагиоклаз, магнетит) и степени кристалличности выделяется несколько типов таких образований (Garcia, Jacobson, 1979; Murphy et al., 2000; Плечов и др., 2008). Кроме того, на примере амфиболовых андезитов вулкана Безымянный (Камчатка) помимо кайм опацитизации были выделены также продукты объемного разложения роговой обманки, по составу изохимичные замещаемому минералу (Плечов и др., 2008). Происхождение опацитовых кайм, так же как и условия разложения амфиболов, оцениваются по-разному — дегазация расплавов при декомпрессии (Rutherford, Hill, 1993), возрастание температуры (Rutherford, Devine, 1993; Плечов и др., 2008) или фугитивности кислорода в расплаве (Murphy et al., 2000). Вероятно, наиболее общей причиной их возникновения является подъем расплава к земной поверхности, когда одновременно меняются все эти факторы, одинаково влияющие на преобразование амфиболов.

Хорошо известно, какую роль играют водосодержащие фазы как индикаторы особенностей петрогенезиса базальтовых расплавов (температура, давление, динамика подъема к поверхности, тип и особенности извержения).

Наибольший интерес при этом, вероятно, представляет анализ составов существующих с амфиболом минералов (оливина, пироксена, плагиоклаза, шпинелидов) и их изменения в ходе эволюции этой водосодержащей фазы. Шлаки трахибазальтов конуса Cerro la Pilita на западе Мексики содержат фенокристаллы роговой обманки (без реакционных кайм) совместно с высокомагнезиальным (Fo_{85-88}) оливином, авгитом и рассеянными микрофенокристами плагиоклаза. В то же время в лавовом потоке из этого конуса наблюдаются уже реликты амфибала в опацитовом окружении, а плагиоклаз достигает размера фенокристаллов (Barclay, Carmichael, 2004). Эксперименты, проведенные этими исследователями, показали, что ранняя кристаллизация амфибала в водонасыщенной системе сопровождается подавлением роли плагиоклаза, а понижение активности воды во флюидной фазе, напротив, ведет к стабильности плагиоклаза при более высоком давлении. С повышенным содержанием воды в расплавах андезибазальтового состава Западной Мексики связаны необычайно высокая магнезиальность оливинов, более ранняя кристаллизация этого минерала в основной массе по сравнению с ортопироксеном и подавление плагиоклаза как ранней кристаллизующейся фазы (Lange, Carmichael, 1990).

Микрофенокристы необычайного по магнезиальности оливина ($Fo_{98.8}$) в ассоциации с высококальциевым плагиоклазом (An_{85-80}), магнезиальным авгитом и энстатитом были обнаружены в базальтах о-ва Колбейнса (вблизи Исландии). Образование их связывается с высокой фугитивностью кислорода в магме, возникшей в результате диссоциации воды при высокой температуре (Sigursson, Brown, 1970).

Таким образом, роль водно-флюидного фактора, от которого зависит состав и последовательность выделения минеральных парагенезисов, очевидна. Не ясным остаются детали этого процесса — когда по мере подъема расплавов к земной поверхности происходят диссоциация водной составляющей и рост окислительного потенциала в магматической системе. Используя амфибол как возможный индикатор этого процесса, мы постараемся рассмотреть его «анатомию», изучив особенности сопутствующего минералообразования.

АМФИБОЛЫ В ГАВАЙИТАХ И МУДЖИЕРИТАХ КЕКУКНАЙСКОГО МАССИВА

Кекукнайский вулканический массив располагается в тыловой части современной островодужной системы Камчатки (Колосков и др., 2011). Становление массива происходило в обстановке открытой системы, поэтому главную роль в процессах петrogenеза играла динамика флюидной фазы при подчиненной роли фракционной кристаллизации и процессов гибридизма.

В результате детального анализа особенностей изменения породных ассоциаций и их минералогического состава была предложена модель «эскалатора» — изменение состава расплава в ходе его декомпрессионной дифференциации, когда происходят диссоциация и отделение водной фазы, а фугитивность кислорода в системе возрастает (Колосков и др., 2013). В этой модели особенности изменения состава амфиболов и их рекристаллизация играют ключевую роль.

Амфибол и/или продукты его распада были встречены в гавайитах и муджиеритах позднеплейстоцен-голоценовой стадии ареального вулканализма в

Таблица 1

Химический состав гавайитов и муджиеритов Кекукнайского массива (мас. %)

Petrogenic compositions (wt %) of hawaiites and mugearite of Kekuknai massif

Появление	Дайка	Бомба	Некк	Бомба	Поток	Поток	Конус	Дайка	Поток	Поток
порода	га	га	га	га	га	га	га	га	мж	мж
№ обр.	156	49066	155	49067	49071	49065	162	150	49070	154
№ п.п.	1	2	3	4	5	6	7	8	9	10
SiO ₂	48.06	48.22	48.51	48.69	49.38	49.41	49.56	50.46	51.05	54.29
TiO ₂	1.90	1.91	1.89	1.94	1.90	1.68	1.69	1.52	1.57	1.32
Al ₂ O ₃	17.34	19.15	17.54	18.73	19.14	18.60	17.65	16.99	18.63	17.42
Fe ₂ O ₃	4.96	4.36	4.63	5.86	3.80	2.63	4.35	4.57	4.76	4.98
FeO	5.03	6.11	5.21	4.67	6.47	7.18	5.56	4.67	5.03	2.87
MnO	0.15	0.16	0.15	0.15	0.16	0.16	0.15	0.14	0.17	0.15
MgO	6.12	5.23	6.22	4.87	4.48	5.20	6.39	6.98	3.86	4.35
CaO	9.90	8.02	9.60	8.15	7.57	8.83	8.22	8.49	7.16	7.27
Na ₂ O	3.95	4.11	4.08	4.36	4.61	4.10	4.10	3.83	4.81	4.49
K ₂ O	1.52	1.73	1.37	1.73	1.73	1.43	1.67	1.55	1.91	2.13
P ₂ O ₅	0.53	0.53	0.54	0.54	0.41	0.35	0.51	0.60	0.53	0.39
П.п.п.	0.46	0.63	0.28	0.18	0.43	0.25	0.22	0.21	0.40	0.44
С у м м а	99.90	100.15	100.00	99.86	100.08	99.83	100.07	99.99	99.87	100.10
3Fe/2Fe	0.99	0.71	0.89	1.25	0.59	0.37	0.78	0.98	0.95	1.74
mg	53.46	48.16	54.18	46.60	44.67	49.27	54.58	58.61	42.48	51.32

Примечание. 3Fe/2Fe = Fe₂O₃/FeO (мас. %); mg = 100×Mg/(Mg + Fe*), где Fe* = (Fe₂O₃×0.8998 + FeO)/71.85; Mg = MgO/40.3. Ан. 3—7, 9, 10 по (Колосков и др., 2011); ан. 1, 2, 8 — неопубликованные анализы А. Б. Перепелова; ан. 1—4 — амфиболсодержащие, ан. 5—10 — безамфиболовые составы; га — гавайит, мж — муджиерит.

пределах рассматриваемого массива. Состав гавайитов достаточно однообразен (табл. 1), а переход к муджиеритам сопровождается возрастанием кремне-кислотности и щелочности пород и уменьшением их титанистости. Амфиболсодержащие гавайиты в отличие от безамфиболовых обычно более основные и более титанистые, иногда и максимально окисленные (обр. 49067). Породы обычно субафировые, встречаются и мелко-редкопорфировые разновидности. Относительно крупные вкрапленники немногочисленны или отсутствуют, доля порфировых выделений не превышает 5—6 об. %. Вкрапленники и субфенокристаллы представлены оливином, типоморфным для гавайитов, плагиоклазом, присущим муджиеритам, а также клинопироксеном и амфиболом. В основной массе присутствуют микролиты плагиоклаза, оливина, клинопироксена, рудных минералов и щелочного полевого шпата. Микроструктуры основной массы разнообразны и зависят от места отбора образца-пробы. Для пород из даек и потоков характерны микродолеритовая, интерсерталльная, пилотакситовая структуры, а шлакам и бомбам свойственна андезитовая, флюидальная и гиалопилитовая структуры. Сохранность амфибала в лавах также определяется фациальной принадлежностью породы. В относительно плотных породах, слагающих некк, дайки и потоки, были найдены только теневые формы корродированных, опацитизированных зерен амфибала размером от 0.7 до 1.5 мм. Амфибол в виде хорошо сохранившихся вкрап-

ленников был обнаружен только в микро-мелкопористой пирокластике полуразрушенных конусов. Кроме редких вкрапленников амфибола в этих шлаках и бомбах содержатся и единичные субфенокристаллы, в гавайитах — оливина, в муджиеритах — оливина и плагиоклаза. Флюидальная гиалопилитовая основная масса в них сложена криптокристаллическим стеклом, микролитами плагиоклаза, оливина, рудных минералов и микронолитами клинопироксена. Идиоморфные кристаллы-вкрапленники амфибола, как правило, коррортированы основной массой, либо с глубоким проникновением внутрь апогипидиоморфных, иногда катаклазированных зерен, либо с полным уничтожением первичных форм. Максимальный размер зерен амфибола достигает 1.6 мм по наибольшему измерению; минимальный размер (~0.3—04 мм) имеют реликтовые мелкие выделения, почти полностью поглощенные основной массой. Все амфиболовые выделения, независимо от формы, заключены в тонкую опацитовую кайму. Относительно редко наблюдается полное или почти полное разложение зерен. Ниже будут рассмотрены материалы, касающиеся исключительно гавайитов.

МЕТОДИКА ПРОВЕДЕНИЯ АНАЛИЗА

Анализ минералов проводился в ИВиС ДВО РАН на микрозонде Camebax, оснащенном четырьмя волновыми спектрометрами, а также с помощью установленного на нем энергодисперсионного спектрометра INCA с площадью кристалла 80 мм². Ток в режиме анализа на волновых спектрометрах равнялся 40 нА (Cu), экспозиция составляла 5 с. Ток в режиме энергодисперсионного спектрометра на эталоне Ni равнялся 20 нА, экспозиция составляла 15 с. В качестве эталонов использовались: голубой диопсид (Si, Mg, Ca), синтетический ильменит (Fe, Ti), синтетический фосфат алюминия (Al, P), альбит (Na), ортоклаз (K), синтетическая окись хрома (Cr), родонит (Mn). Спектрометр INCA обладает широкоугольной рентгеновской апертурой, что позволяет измерять площадки 80×80 мкм без потери точности анализа. Эта конструктивная особенность прибора была использована для интегрального анализа реакционных кайм и зон объемного распада амфибола.

РЕЗУЛЬТАТЫ АНАЛИЗА

Амфибол представлен прямоугольными или вытянутыми незональными кристаллами размером от первых десятков мкм до 1 мм. По их границам всегда развита реакционная кайма шириной от первых до десятков мкм, неравномерная по толщине даже в пределах одного кристалла (рис. 1, *a*, *в*). Кайма состоит из весьма мелких (1—2 мкм) зерен (рис. 1, *б*), проанализировать которые не удается. Внутри вкрапленников амфибола наблюдаются участки, представленные агрегатами мелких (1—10 мкм) зерен минералов (ренита, клинопироксена, плагиоклаза, титаномагнетита, оливина) и стекла, вытянутых вдоль длинной стороны кристаллов амфибола (рис. 1, *г*). Можно наблюдать и обратную картину: агрегаты описанных минералов и между ними выделяющиеся более крупным размером и неправильной формой реликты амфибола (рис. 1, *г*). Подобные агрегаты могут контактировать с опацитовой каймой. Описанная ассоциация рассматривается как продукт распада твердо-

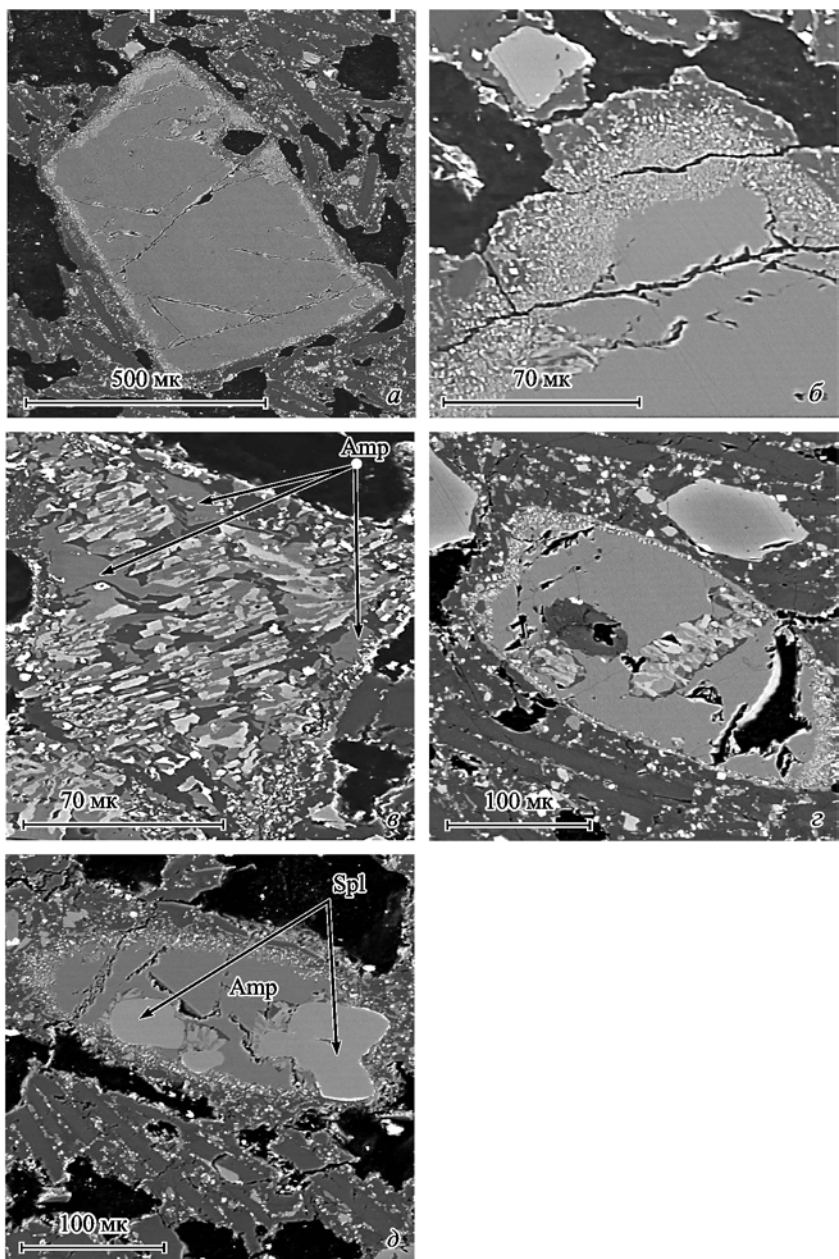


Рис. 1. Фото кристаллов амфибола, реакционных кайм и зон распада.

Изображение в обратнорассеянных электронах; *а* — крупный кристалл амфибола с реакционной каймой; *б* — реакционная кайма, увеличенный участок верхнего правого угла кристалла на рис. 1, *а*; *в* — кристалл амфибола с реакционной каймой и зоной объемного распада; *г* — линейно-упорядоченный участок объемного распада с реликтами амфибола; *д* — амфибол с включениями глиноземистой шпинели (табл. 5). Аббревиатуры минералов здесь и далее по (Whitney, Evans, 2010).

Fig. 1. Microphotographs of amphibole crystals, amphibole-reactionary rims and zones of decomposition.
Back-scattered electron (BSE) images.

Таблица 2

Средний состав шпинели (мас. %)
Mean composition of spinel (7 analyses)

	$X(7)$	S		$X(7)$	S
TiO ₂	0.91	0.07	Fe ²⁺	2.9548	0.12
Al ₂ O ₃	53.15	0.33	Mn	0.0000	0.00
Cr ₂ O ₃	0.74	0.10	Mg	5.1831	0.11
Fe ₂ O ₃	12.53	0.55	Сумма	24.0000	—
FeO	16.35	0.68	Mg#	63.74	1.48
MgO	16.12	0.37	FeCr ₂ O ₄	0.79	0.11
Сумма	99.79	0.28	MgAl ₂ O ₄	64.91	1.42
Ti	0.1479	0.01	FeAl ₂ O ₄	19.71	1.77
Al	13.5404	0.08	Fe ₃ O ₄	12.74	0.56
Cr	0.1256	0.02	Fe ₂ TiO ₄	1.85	0.14
Fe ³⁺	2.0382	0.09			

Примечание. Здесь и далее X — среднее содержание (в скобках число анализов), S — стандартное отклонение. Mg# = 100 · Fe²⁺/(Fe²⁺ + Mg) к.ф. Содержание Fe₂O₃ вычислено по стехиометрии шпинели.

го раствора амфибола и в дальнейшем, для краткости, называется агломератом.

По составу, в соответствии с классификацией Лика (Leake et al., 1997), амфибол представлен магнезиогастингситом. По принятой в настоящее время классификации IMA (Hawthorne et al., 2012), фигуративные точки анализов ложатся в поле саданагита, (табл. 1, кол. I—II). Минерал отличается высоким содержанием TiO₂ (3.8—4.7 мас. %) и Al₂O₃ (13.7—15.6 мас. %), причем преобладающая часть алюминия находится в четверной координации. Зональность в кристаллах отсутствует. В одном из кристаллов амфибола были обнаружены крупные вrostки глиноземистой шпинели (рис. 1, д, табл. 2). Учитывая подчиненное количество магнетитового минала в шпинели (~13 %), можно предположить относительно восстановительные условия их образования. Достаточно условно нами выделены две разновидности амфибола, причем одна из них характерна для отдельных кристаллов амфибола (табл. 3, I), а вторая — для реликтов этих кристаллов, находящихся или прилегающих к зонам объемного распада твердого раствора амфибола или опацитовой кайме. Эти разновидности различаются по содержанию Fe и Mg (табл. 3, II).

Минеральные фазы, слагающие агломерат. Интегральные анализы реакционных кайм и агломерата представлены в табл. 3, III—IV. Агломератовые выделения имеют однородный состав и представлены (в порядке убывания содержаний) высокоглиноземистым титансодержащим авгитом (фасцитом), ренитом, плагиоклазом, титаномагнетитом, оливином, щелочным стеклом. Зерна минералов имеют незначительные размеры и хаотически или линейно-упорядоченно расположены друг относительно друга (рис. 1, б, в).

Рёнит — титансодержащий силикат, минерал группы энigmatита, получивший свое название от массива Рен (Германия). Обладает триклинической сингонией и характеризуется общей формулой — X₂Y₆Z₆O₂₀, где X = Na, K, ^{VIII}Ca, ^{VIII}Fe²⁺; Y = Ti, ^{VI}Al, ^{VI}Fe⁺³, ^{VI}Fe⁺², Mn, Mg, ^{VI}Ca; Z = Si, ^{IV}Al, ^{IV}Fe⁺³ (Kun-

Таблица 3

Средние составы амфиболя, реакционных кайм и агломерата (мас. %)

Average compositions of amphibole, amphibole-reactionary rims and the agglomerate (wt %)

Компонент	Неизмененный амфибол		Измененный амфибол		Агломерат		Реакционная кайма	
	X(56)	S	X(22)	S	X(14)	S	X(18)	S
SiO ₂	39.63	0.31	39.65	0.42	40.04	0.57	39.39	0.58
TiO ₂	4.43	0.22	4.18	0.14	3.99	0.24	4.33	0.41
Al ₂ O ₃	14.93	0.34	14.25	0.35	14.87	0.35	14.84	0.34
Fe ₂ O ₃	5.03	1.06	3.85	0.85	—	—	—	—
FeO	6.12	0.74	8.73	1.01	13.59	1.01	17.94	1.17
MnO	0.02	0.07	0.12	0.12	0.14	0.15	0.32	0.10
MfO	13.54	0.23	12.59	0.37	12.92	0.95	12.43	0.61
CaO	11.27	0.18	11.32	0.17	12.34	1.00	9.14	0.70
Na ₂ O	2.71	0.09	2.78	0.10	2.62	0.21	2.35	0.26
K ₂ O	0.97	0.07	1.16	0.15	0.66	0.20	0.05	0.09
Сумма	98.66	0.49	98.43	0.43	101.17	0.55	100.81	0.59
Коэффициенты в формуле (O = 23)								
Si	5.7452	0.0425	5.8133	0.0463	5.7809	0.0656	5.7540	0.0654
Ti	0.4830	0.0240	0.4611	0.0156	0.4337	0.0265	0.4759	0.0456
^{IV} Al	2.2548	0.0425	2.1867	0.0463				
^{VI} Al	0.2966	0.0425	0.2761	0.0285	2.5309	0.0558	2.5555	0.0541
Fe ³⁺	0.5484	0.1157	0.4247	0.0927	—	—	—	—
Fe ²⁺	0.7418	0.0913	1.0709	0.1269	1.6404	0.1243	2.1917	0.1510
Mn	0.0030	0.0083	0.0145	0.0145	0.0169	0.0184	0.0401	0.0120
Mg	2.9272	0.0431	2.7526	0.0714	2.7807	0.1984	2.7071	0.1236
Ca	1.7506	0.0265	1.7786	0.0288	1.9088	0.1595	1.4300	0.1094
Na	0.7628	0.0250	0.7902	0.0271	0.7343	0.0587	0.6661	0.0723
K	0.1798	0.0125	0.2162	0.0295	0.1209	0.0377	0.0098	0.0165
Сумма	15.6932	0.0453	15.7850	0.0502	15.9475	0.0646	15.8302	0.0372
Mg#	79.82	2.04	72.04	2.91	62.86	2.79	55.28	2.69
Fe ³⁺ /Fe _{tot}	0.42	0.08	0.29	0.07	—	—	—	—

Примечание. Fe³⁺ — рассчитано на 13-катионов. Fe³⁺/Fe_{tot} = Fe³⁺/(Fe³⁺ + Fe²⁺) к.ф.

zmann, 1999). Встречается как редкий минерал в качестве субфенокристаллов и микролитов в щелочных базальтах, тешенитах, базанитах, тефритах, фонолитах. Также ренит отмечен как продукт замещения титанистого амфиболя и как интерстициальная фаза сложенных им ксенолитов. Ассоциирует с титан-содержащим авгитом, керситом, диопсидом, форстеритом, шпинелью, пегровскитом, магнезиоферритом, титаномагнетитом (Mineral..., 2001). Кроме того, ренит описан как минерал-узник в расплавных включениях в оливинах из щелочных и толеитовых базальтов (Ананьев, Селянгин, 2011; Шарыгин и др., 2011). Относительно полные обзоры по минералогии ренита и его генезису представлены в ряде публикаций (Johnston, Stout, 1985; Kunzmann, 1999; Шарыгин, 2011). Обнаруженный в агломерате ренит довольно широко варьирует по составу (табл. 4), занимая на классификационных диаграммах (рис. 2, а) протяженную зону, совпадающую с ранее описанными вариативными по-

Таблица 4

Репрезентативные анализы ренита (мас. %)

Representative analyses and formula coefficients of rhönite

№ ан.	2T5S6	2T7S2	3T5S5	4S4	3T8S6	4T1S2	4T1S2	4T10S3	X(27)	S
SiO ₂	28.34	29.24	27.47	24.43	27.96	26.80	29.04	28.75	27.39	1.33
TiO ₂	7.97	6.85	8.93	7.75	7.74	6.79	6.61	7.61	7.55	0.74
Al ₂ O ₃	18.15	16.92	15.40	16.68	16.28	16.56	16.88	15.86	16.38	0.62
Fe ₂ O ₃	8.60	10.00	11.85	12.94	10.77	11.17	8.90	11.80	11.58	2.07
FeO	8.80	7.60	11.61	10.72	9.47	9.50	14.17	9.99	11.89	1.86
MnO	0.00	0.00	0.00	0.28	0.00	0.00	0.00	0.32	0.12	0.15
MgO	15.96	16.46	13.17	13.09	15.32	14.67	12.28	14.59	13.18	1.17
CaO	11.24	11.41	11.36	11.55	11.39	11.27	11.27	11.49	11.09	0.26
Na ₂ O	1.73	1.74	1.54	1.27	1.58	1.49	1.84	1.70	1.63	0.16
Сумма	100.79	100.22	99.23	99.89	100.52	99.20	101.17	100.79	100.60	0.88

Коэффициенты в формуле (O = 20)										
Si	3.6212	3.6916	3.2854	3.6547	3.5624	3.8161	3.7615	3.6344	3.5936	0.1497
^{IV} Al	2.3788	2.2220	2.3085	2.6439	2.3453	2.4376	2.1840	2.2386	2.3656	2.3997
^{IV} Fe ³⁺	0.0000	0.0000	0.0000	0.0707	0.0000	0.0000	0.0000	0.0000	0.0000	0.1389
Ti	0.6906	0.6656	0.6902	0.9031	0.7618	0.7737	0.6710	0.6503	0.7594	0.0178
^V Al	0.1152	0.3547	0.1306	0.0000	0.1628	0.1568	0.4303	0.2070	0.1179	0.0067
^V Fe ³⁺	1.2598	0.9720	1.1987	1.2395	1.0593	1.1174	0.8804	1.1621	1.1559	0.01620
^V Fe ²⁺	1.1398	0.8217	1.3052	1.2011	1.0308	1.0450	1.5571	1.0930	1.3198	0.2175
Mn	0.0000	0.0000	0.0000	0.0319	0.0000	0.0000	0.0000	0.0000	0.0000	0.0164
Mg	2.7743	3.1705	2.6384	2.6244	2.9853	2.9071	2.4056	2.8457	2.6072	2.7260
^{VI} Ca	0.0203	0.0155	0.0369	0.0000	0.0000	0.0000	0.0556	0.0419	0.0038	0.0218
^{VII} Fe ²⁺	0.0000	0.0000	0.0000	0.0047	0.0044	0.0109	0.0000	0.0000	0.0000	0.0093
^{VIII} Ca	1.6226	1.5641	1.5987	1.6642	1.5952	1.6051	1.5311	1.5687	1.5729	0.0387
Na	0.3774	0.4359	0.4012	0.3311	0.4004	0.3840	0.4688	0.4312	0.4271	0.4192
Сумма	14.0000	14.0000	14.0000	14.0000	14.0000	14.0000	14.0000	14.0000	14.0000	—

	X	Y	Z	$\text{Fe}^{3+}/\text{Fe}\epsilon_{\text{tot}}$	Mg [#]
	2.00	2.00	2.00	2.00	2.00
X	2.00	2.00	2.00	2.00	2.00
Y	6.00	6.00	6.00	6.00	6.00
Z	6.00	6.00	6.00	6.00	6.00
$\text{Fe}^{3+}/\text{Fe}\epsilon_{\text{tot}}$	0.53	0.54	0.48	0.52	0.51
Mg [#]	70.88	79.42	66.90	68.52	74.25
				73.36	60.71
				72.25	66.39
				69.87	54.45

Примечание. Формула рёнита $X_2Y_2Z_6O_{20}$, где $X = \text{VIII}_{\text{Ca}}$, $\text{VII}_{\text{Fe}^{2+}}$, Na ; $Y = \text{Ti}$, VIAl , VIFe^{3+} , VIIFe^{2+} , Mn , Mg , VI_{Ca} ; $Z = \text{Si}$, IVAl , IVFe^{3+} . Fe_2O_3 вычислено в соответствии с Johnston, Stout, 1985; распределение катионов по позициям в соответствии с Kunzmann, 1999.

лями природного ренита (Johnston, Stout, 1985; Grapes et al., 2003; Шарыгин и др., 2011).

Клинопироксен (W_{44-51} , En_{31-42} , Fs_{13-18}) представлен высокоглиноземистым титаносодержащим авгитом (фассаитом). Как и амфибол, пироксен отличается низким содержанием SiO_2 (40—46 мас. %), высокими содержаниями TiO_2 (2.7—5.2 мас. %) и Al_2O_3 (7.5—13.3 мас. %). Al , входящий в его состав, занимает в основном четверную позицию (табл. 5). Подобные пироксены характерны для щелочных пород (Добрецов и др., 1971), а также описаны как минералы-узники в расплавных включениях в оливинах из щелочных и толеитовых базальтов (Ананьев, Селянгин, 2011; Шарыгин и др., 2011).

Плагиоклаз отвечает по составу An_{50} с небольшим содержанием ортоклазового минала (табл. 5). Характерной особенностью плагиоклаза является повышенное содержание Ti, Mg, Fe, которое трудно объяснить ошибками анализа, вызванными захватом зоной генерации рентгеновского излучения темноцветных минералов, так как размеры анализируемых кристаллов были достаточно велики. Похожие анализы для плагиоклазов получены в работе П. Ю. Плечова и соавторов (Плечов и др., 2008).

Оливин (Fo_{83-88}) встречается в виде единичных зерен. Его магнезиальность выше, чем у вкрапленников оливина в безамфиболовых гавайитах. Обращает на себя внимание сравнительно высокое содержание в оливине кальция и марганца (табл. 5).

Титаномагнетит образует очень мелкие зерна, с трудом поддающиеся анализу. Оцененное содержание TiO_2 в нем составляет 11—20 мас. %.

Стекло встречается в интерстициях между кристаллическими фазами, представлено высокощелочным глиноземистым расплавом со средним содержанием кремнезема 55 мас. % (52—60 мас. %). Сумма щелочей в стекле колеблется от 10 до 17 мас. % (табл. 5). Роль стекла в образовании агломератов крайне невелика.

ОБСУЖДЕНИЕ РЕЗУЛЬТАТОВ

Образование реакционных кайм вокруг кристаллов амфибала, а также превращение амфибала в агрегат вторичных минералов (ортопироксена, ренита, плагиоклаза и др.) — факт достаточно известный и хорошо изученный (Rutherford, Hill, 1993; Shaw, Klügel, 2002; Grapes et al., 2003; Alletti et al., 2005; Плечов и др., 2008, и др.). Наиболее подробный обзор материалов по реакционным структурам в амфиболе дан в работе

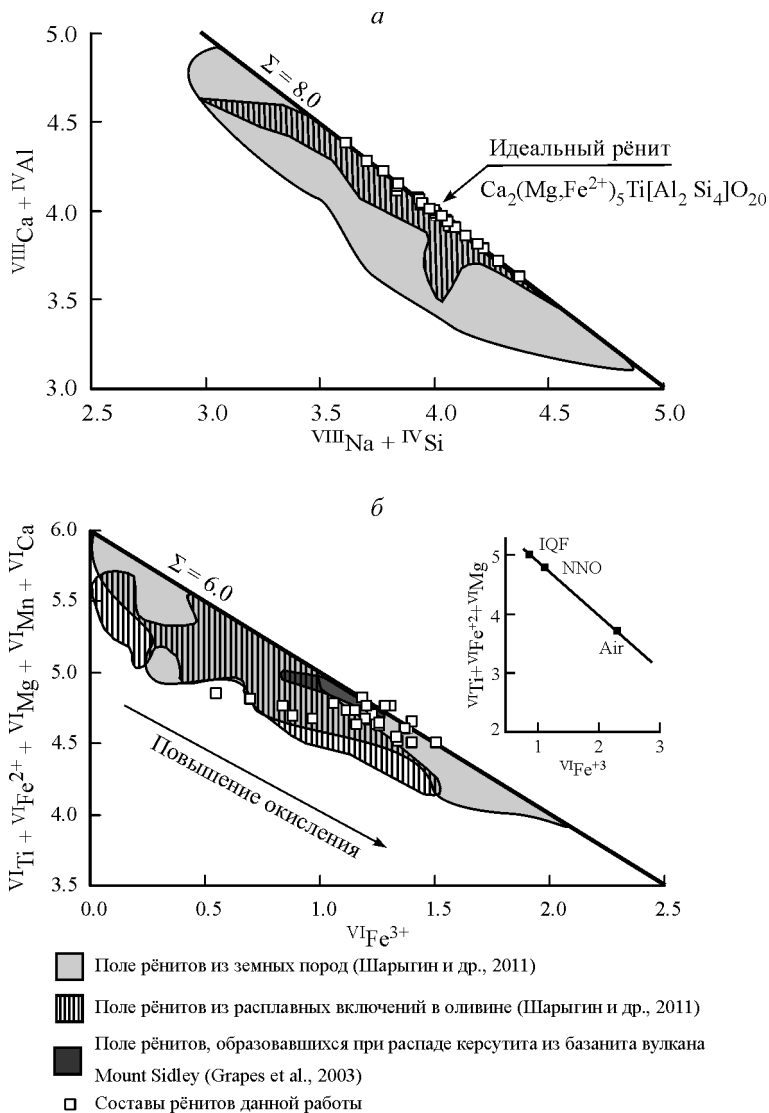


Рис. 2. Графики $VIII\text{Na} + IV\text{Si}$ — $VIII\text{Ca} + IV\text{Al}$ и $VI\text{Fe}^{3+}$ — $VII\text{Ti} + VII\text{Fe}_{2+} + VII\text{Mg} + VII\text{Mn} + VII\text{Ca}$ (apfu) для рёни́тов из земных пород и расплавных включений.

Fig. 2. Plots $VIII\text{Na} + IV\text{Si}$ — $VIII\text{Ca} + IV\text{Al}$ and $VI\text{Fe}^{3+}$ — $VII\text{Ti} + VII\text{Fe}_{2+} + VII\text{Mg} + VII\text{Mn} + VII\text{Ca}$ (apfu) for rhönites from natural rocks and melt inclusions. Inset (fig. 2, б) shows variations of rhönite composition in the nepheline-basanite melt with different oxygen fugacity (IQF, NNO, air) at 1060 °C/0.3 kbar (Kunzmann et al., 1986).

В. Бакли и соавторов (Buckley et al., 2006). В нашем случае отмечаются два типа распада амфиболя. Первый тип (I) — это реакционные тонкозернистые каймы, развитые по границам кристаллов амфиболя. Они присутствуют только там, где кристаллы амфиболя соприкасались с расплавом, и отсутствуют на границах амфиболя с другими минералами, что указывает на реакцию между амфиболом и вмещающей магмой. Второй тип (II) — это объемный распад амфиболя, наблюдаемый как на границах, так и внутри кристаллов, а часто и охватывающий весь кристалл. Подобные типы разложения роговой

Таблица 5

Средние анализы минералов агломератов (мас. %)

Average compositions and formula coefficients of minerals in the agglomerate

Компонент	Cpx		Ol		Pl		Gl	
	X(28)	S	X(4)	S	X(17)	S	X(7)	S
SiO ₂	42.87	1.64	39.54	0.25	53.63	1.97	55.92	3.26
TiO ₂	3.80	0.69	0.14	0.16	0.52	0.21	0.90	0.37
Al ₂ O ₃	10.56	1.36	0.12	0.24	26.90	1.23	22.10	1.52
Fe ₂ O ₃	6.34	1.10	—	—	1.67	0.52	—	—
FeO	2.79	0.80	14.18	2.08	—	—	2.43	0.99
MnO	0.02	0.07	0.42	0.07	0.00	0.00	0.00	0.00
MgO	11.47	1.01	44.82	1.48	0.58	0.30	0.78	0.99
CaO	21.44	0.76	0.55	0.10	10.23	1.58	3.21	1.63
Na ₂ O	0.85	0.10	0.00	0.00	5.32	0.59	7.64	0.90
K ₂ O	0.00	0.00	0.00	0.00	0.84	0.60	5.96	1.52
P ₂ O ₅	0.00	0.00	0.00	0.00	0.00	0.00	0.15	0.27
Сумма	100.15	0.75	99.75	0.63	99.70	0.68	99.07	0.65

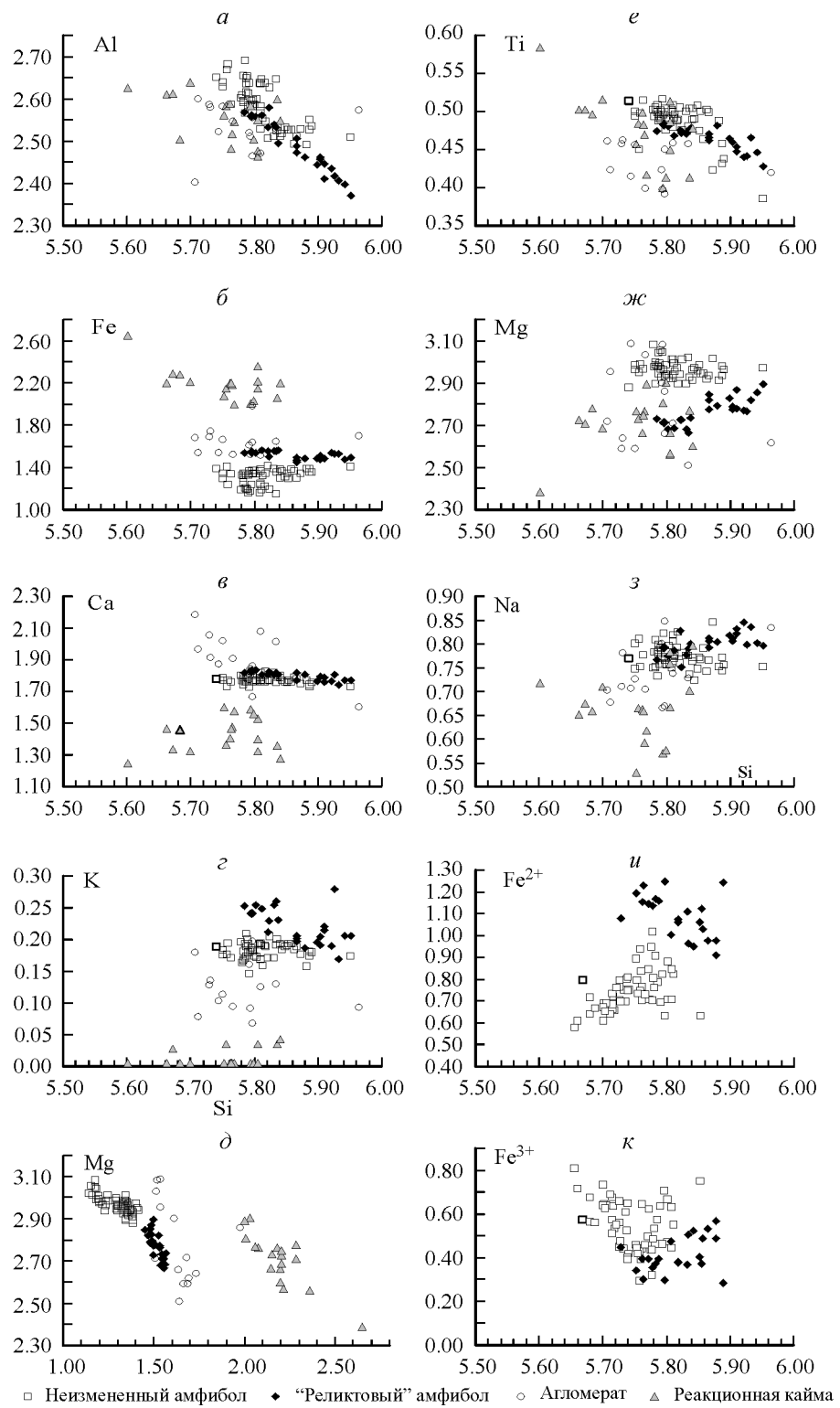
Коэффициенты в формуле

	O = 6		O = 4		O = 9		O = 8	
Si	1.6263	0.0549	0.9941	0.0033	2.4510	0.0753	2.6237	0.1092
Ti	0.1085	0.0201	0.0026	0.0030	0.0180	0.0074	0.0317	0.0132
^{IV} Al	0.3977	0.0574						
^{VI} Al	0.0677	0.0186	0.0036	0.0071	1.4495	0.0685	1.2236	0.0933
Fe ³⁺	0.1783	0.0309	—	—	0.0577	0.0183	—	—
Fe ²⁺	0.0871	0.0252	0.2982	0.0454	—	—	0.0958	0.0408
Mn	0.0006	0.0022	0.0088	0.0016	0.0000	0.0000	0.0000	0.0000
Mg	0.6391	0.0540	1.6796	0.0470	0.0399	0.0205	0.0550	0.0709
Ca	0.8587	0.0311	0.0148	0.0028	0.5013	0.0790	0.1603	0.0795
Na	0.0618	0.0075	0.0000	0.0000	0.4712	0.0493	0.6969	0.0956
K	0.0000	0.0000	0.0000	0.0000	0.0489	0.0344	0.3581	0.0966
P	0.0000	0.0000	0.0000	0.0000	0.0000	0.0000	0.0061	0.0104
Сумма	4.0000	0.0000	3.0015	0.0068	5.0375	0.0121	5.2511	0.1522
Mg#	88.00	3.27	84.92	2.30	—	—	28.40	16.40

Миналы

Минерал	Минал	%	S		Минерал	Минал	%	S
Cpx	En	40.30	2.86		Pl	Ab	46.12	4.62
	Fs	5.48	1.51			Ort	4.78	3.27
	Woll	54.22	2.47			An	49.10	7.71

П р и м е ч а н и е. Gl — стекло; Fe₂O₃ — для пироксенов вычислено в соответствии со стехиометрией. Для плагиоклазов все железо представлено как Fe₂O₃.



обманки ранее уже описывались (Corsaro et al., 2007; Плечов и др., 2008). На вариационных диаграммах (рис. 3, *a*—*m*) можно видеть, что наибольшие различия по химическому составу относительно исходного амфиболя наблюдаются при образовании реакционных кайм (тип I). Интегральный анализ этих кайм показывает, что в ходе их образования происходит существенный вынос щелочных элементов и в меньшей степени Ca и Mg при значительном увеличении концентрации железа (рис. 3, *d*). Меньшие изменения происходят при образовании зон типа II. В этом случае также происходит небольшой вынос щелочей, в основном K, и наблюдается некоторое увеличение концентрации Ca. Содержание Al падает с увеличением содержания SiO₂, при этом для зон I и II оно остается примерно постоянным (рис. 3, *a*). По титану хотя и наблюдаются некоторые различия, но определенных закономерностей выявить не удается. Изменения амфиболя на стадии, предшествующей распаду, сопровождаются небольшим увеличением содержания Si, с соответственным уменьшением концентрации Al (IV) и Ti, увеличением содержания Fe и K, и уменьшением концентрации Mg. Увеличение суммарного железа сопровождается ростом содержания Fe²⁺ по отношению к Fe³⁺, т.е. «окисленность» амфиболя — отношение Fe³⁺/Fe_{tot}, падает (табл. 3). Подобная ситуация, возможно, связана с выносом Mg и Fe³⁺, и привносом дополнительного Fe²⁺ (рис. 3, *i*, *l*, *m*). Оба типа распада амфиболя сопровождаются его дегидратацией, на что указывает изменение сумм анализов от 97—98 % у амфиболя вкрапленников (дефицит, связанный с наличием связанной воды в составе минерала) до 100—101 % в интегральных анализах реакционных кайм.

В целом можно считать, что образование опацитовых кайм на амфиболе (тип I) отражает реакцию амфиболя с вмещающим расплавом, при которой идет интенсивный обмен компонентами. По данным М. Руттерфорда и П. Хилла (Rutherford, Hill, 1993), реакционные каймы (тип I) являются результатом взаимодействия кристалла с расплавом в ходе его подъема, что сопровождается как снижением общего давления, так и снижением концентрации H₂O и приводит к активному катионному обмену, разрушению амфиболя и образованию ансамбля новых минералов. При образовании объемных структур (тип II) идет изохимический (или весьма близкий к этому) процесс распада твердого раствора амфиболя, сопровождающийся незначительным обменом с внешней средой (Buckley et al., 2006; Плечов и др., 2008).

Минеральная ассоциация Crpx + Pl ± O1 + Ti-Mgt + Rn, сходная с установленной нами и образовавшаяся при распаде амфиболя вкрапленников и амфиболя из гомеогенных включений (cognate xenoliths) в трахибазальтовых лавах вулкана Этны описана в работе Р. Корсаро и соавторов (Corsaro et al., 2007). Упомянутые авторы отмечают, что реакционные каймы появляются только на границах кристаллов амфиболя с расплавом и в трещинах, по которым расплав проникает внутрь кристаллов. Амфибол гомеогенных включений при соприкосновении с расплавом образует закрытую гранулярную структуру распада, подобную нашему типу II.

По данным М. Аллетти с соавторами (Alletti et al., 2005), в коронах распада керситита из амфиболового габбро отмечается следующий набор минералов:

Рис. 3. Графики содержания (apfu) минералообразующих элементов в зависимости от содержания Si (*a*—*k*) и содержания Mg относительно общего Fe (*d*).

Fig. 3. Plots of mineral-forming elements contents (apfu) in dependence on Si content (*a*—*m*), and the Mg content relatively to Fe_{tot} (*d*).

$\text{An}_{50-65} + \text{Ti-Al-Cpx} + \text{Rn} \pm \text{Fe-Ti-оксиды}$. Возможной реакцией, которая, по мнению упомянутых авторов, приводит к образованию рёнита при распаде керсугита, является $\text{Krs} = \text{Rn} + \text{Pl} + \text{Ti-Al-Cpx} + \text{расплав}$ при температуре 1100 °C и очень низком давлении (0.1—0.45 кбар).

В работе С. Шоу и А. Клюгеля (Shaw, Klugel, 2002) изучение продуктов распада амфибала в пироксенитовых ксенолитах, содержащих недосыщенное SiO_2 стекло в ассоциации с $\text{Di} \pm \text{Ol} + \text{Rn}$, позволило авторам предполагать образование рёнита по реакции: $\text{Amp} + \text{Px}$ (из ксенолита) = $\text{Gl} + \text{Cpx} + \text{Rn} + \text{Spl}$. Р. Грейпс с соавторами (Grapes et al., 2003) рассматривает случаи замещения керсугита из пироксенитовых ксенолитов в базаните вулкана Mount Sidley (западная Антарктика) минеральным ансамблем $\text{Rn} + \text{Pl} + \text{Al-Cpx} + \text{расплав}$ для исходного керсугита и $\text{Rn} + \text{Pl} \pm \text{Ol} + \text{расплав}$ для керсугита, замещающего клинопироксен. Авторами отмечается, что замещение происходит вдоль трещин спайности, разрыва и по границам минеральных фаз. Положение поля точек составов рёнита на диаграмме (рис. 2, б) позволило упомянутым авторам оценить фугитивность кислорода на момент образования рёнита из керсугита, как близкую к буферу NNO.

Поле точек нашего рёнита частично совпадает с полем предыдущей работы, но лежит немного ниже. Отсюда сделан вывод, что в нашем случае образование рёнита и сопутствующих минералов происходило при большей фугитивности кислорода. Это заключение косвенно подтверждается более высокой магнезиальностью оливина в продуктах распада по сравнению с оливином вкраепленников и микролитов, что говорит о его формировании в условиях дефицита Fe^{2+} (Lange, Carmichael, 1990).

По экспериментальным данным (Boivin, 1980) ассоциация $\text{Rn} + \text{Ol} + \text{Cpx} + \text{Pl} + \text{расплав}$ стабильна при температурах 1090 °C. Т. Кунцманн с соавторами (Kunzmann et al., 1989; Kunzmann, 1999) ограничивает поле стабильности рёнита в недосыщенных щелочных базальтах интервалами 850—1000 °C при $P = 1$ кбар и 900—1100 °C при $P = 5$ кбар без ограничений по фугитивности кислорода, а в щелочных базальтах, для $P < 0.6$ кбар интервалом 840—1200 °C. В продуктах распада богатых титаном кальциевых амфиболов ренит устойчив при $P = 0.5$ кбар и $T = 1060$ °C. Р. Грейпс с соавторами (Grapes et al., 2003), исходя из данных вышеупомянутых авторов, ограничивают поле устойчивости ассоциации $\text{Rn} + \text{Pl} + \text{Cpx} \pm \text{Ol}$ температурным интервалом 1090—1160 °C при $P < 0.5$ кбар.

П. Ю. Плечев и соавторы (Плечев и др., 2008), изучавшие реакционные каймы и продукты объемного распада амфибала в андезитах вулкана Безымянный (Камчатка), приходят к выводу, что образование реакционных кайм происходило в изобарических условиях и главной причиной нестабильности роговых обманок стал вторичный нагрев магматического очага от 890 до 1005 °C вследствие инъекции более горячей магмы. Однако из экспериментальных исследований (Simakin et al., 2012a) вытекает, что при высоком парциальном давлении воды и температуре расплава, превышающей температуру ликвидуса, амфибол растворяется, а не разлагается с образованием вторичных фаз. Для его разложения необходимо низкое парциальное давление воды. Кроме того, в работе П. Ю. Плечева и соавторов экспериментальные данные М. Руттерфорда и П. Хилла (Rutherford M. J., Hill, 1993) по декомпрессии дацитового расплава использованы для анализа перегретого андезитового расплава.

Таким образом, по современным представлениям распад амфибала и образование замещающих его минеральных фаз в базальтовых расплавах про-

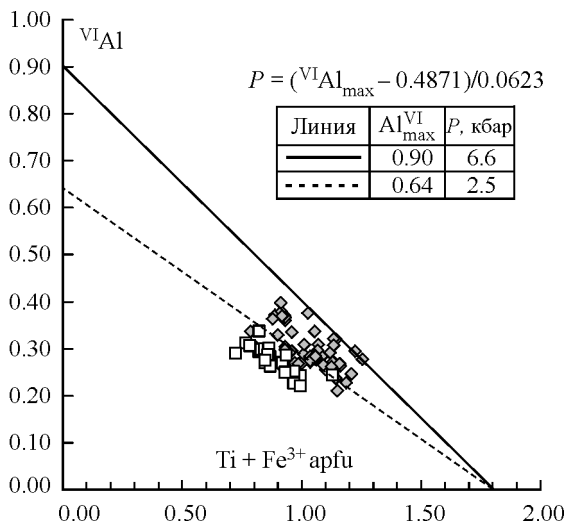


Рис. 4. График составов неизмененного и «реликтового» амфиболов, и оценка давления их образования в соответствии с работой (Simakin et al., 2012b).

Fig. 4. Plot of compositions of primary and «relict» amphiboles, and estimation of the pressure of their forming according to (Simakin et al., 2012b).

исходит в широком диапазоне температур при низком парциальном давлении воды. В результате этого происходит, с одной стороны, активное взаимодействие амфиболя с расплавом и образование опацитовых кайм, с другой — выход твердого раствора амфиболя из поля его стабильности и изохимический распад, ведущий к образованию вторичных фаз. Различия в составе вновь образующихся минеральных ассоциаций можно объяснить различиями в составе исходного амфиболя, составе магмы и разных $P-T-f_{\text{O}_2}$ условиях. Можно утверждать также, что рёнит является одной из главных фаз распада амфиболя в щелочных и субщелочных магмах.

Опираясь на данные Ф. Ридольфи и соавторов (Ridolfi et al., 2010), можно следующим образом оценить условия образования амфиболя в кекуканайских гавайитах (табл. 3, ан. I): $T, ^\circ\text{C} = 1054 \pm 22$, $P = 7.5 \pm 0.8$ кбар, содержание $\text{H}_2\text{O} = 6 \pm 0.9$ (мас. %), $\log f_{\text{O}_2} = -9.3 \pm 0.4$ ($\text{NNO} \pm 0.4$). Оценить давление, при котором образовались обе генерации амфиболя, можно также по геобарометру, разработанному Г. Симакиным и соавторами (Simakin et al., 2012b). Давление в момент начала кристаллизации амфиболя оценивается величиной 6.6 кбар, давление образования реликтовой фазы 2.5 кбар (рис. 4).

Исходя из этих данных, можно утверждать, что амфиболы первой генерации образовались на глубине, отвечающей давлению 6.6 кбар (23—25 км). Амфиболы второй генерации («реликтовый» амфибол) образовались при давлении 2.5 кбар на глубине около 8.5 км. От амфиболов этой генерации остались только реликты, где они разложились — неясно, но можно предположить, что их распад происходил изохимически, (не считая потери воды) в промежуточной магматической камере. Об этом свидетельствует крупный размер зерен вторичных минералов. Минералы в продуктах распада и в кайме I типа, связанной с декомпрессией, полученные в экспериментах, имеют гораздо меньшие размеры. Распад II типа произошел за счет падения летучести

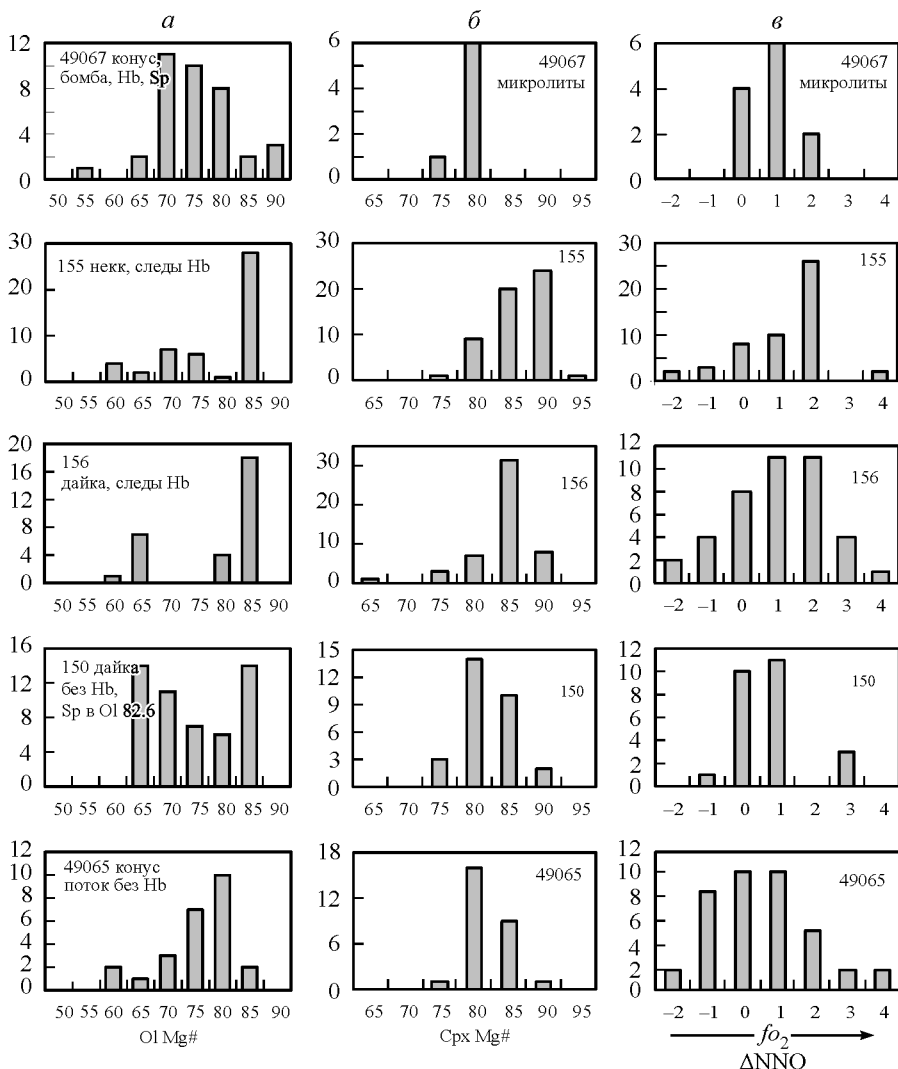


Рис. 5. Гистограмма частоты встречаемости значений магнезиальности ($Mg\#$) оливинов и клинопироксенов, а также значений f_{O_2} (ΔNNO) для пород массива Кекукнай, вычисленное в соответствии с (Samarin et al., 2012) по составам клинопироксена (см. текст).

Fig. 5. Histogram of frequency of the magnesianness value ($Mg\#$) in olivines and clinopyroxenes, and also of f_{O_2} (ΔNNO) for rocks of Kekuknai massif, computed by clinopyroxene compositions (see text) according to (Samarin et al., 2012).

воды, т. е. в результате внутрикамерной дегазации. Известно, что каймы распада I типа образуются за счет внутриканальной дегазации при очень медленном транспорте, например, при подготовке извержения и продвижении трещины к поверхности со скоростью ~ 0.5 см/с. Этот вывод следует из экспериментальных данных (Rutherford, Hill, 1993). Если в ходе извержения скорость продвижения магмы возрастает до 0.5 — 5 м/с, амфиболы не успевают разложиться. Сама сохранность амфиболя, именно тонкая опацитовая кайма на нем (Rutherford, Devine, 1993), указывают на быструю доставку к поверхности лав шлаковых конусов.

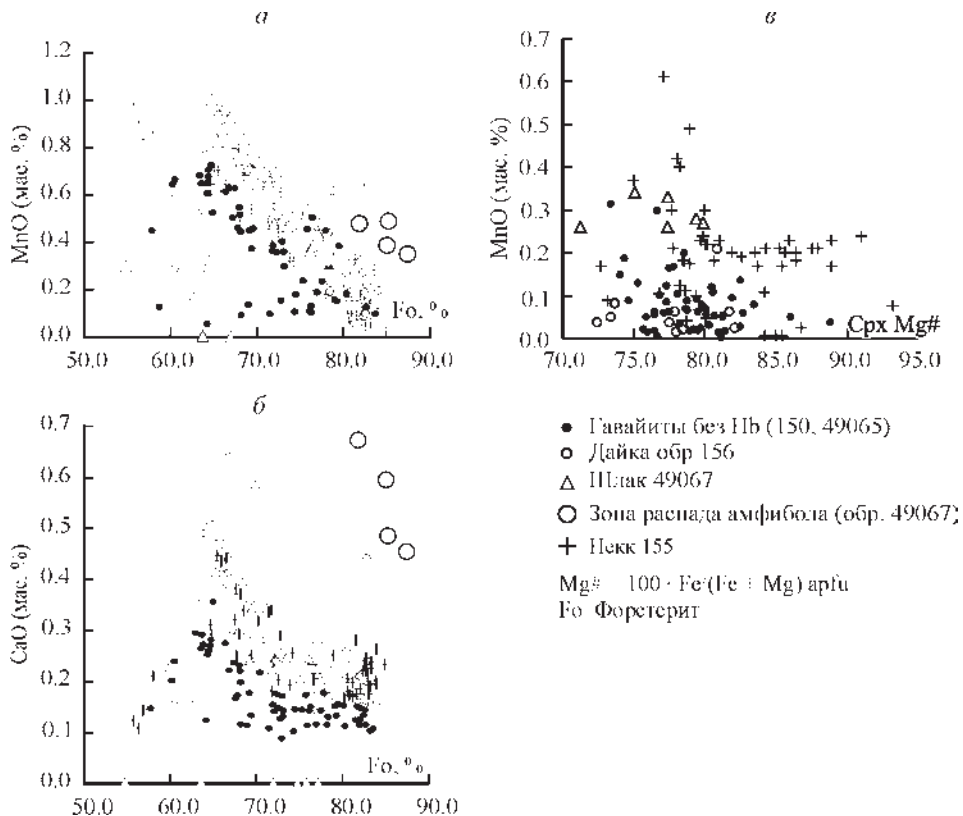


Рис. 6. Соотношение MnO: Fo, CaO: Fo в оливине и MnO: Cpx Mg# в клинопироксene из гавайитов Кекукнайского массива.

Fig. 6. Ratios MnO-Fo, CaO-Fo in olivine and MnO-Cpx Mg# in clinopyroxenes from hawaiites of Kekuknai massif.

Стадийность эволюции системы амфиболовый → безамфиболовый гавайит выглядит следующим образом.

1. Амфиболсодержащие гавайиты из бомбы шлакового конуса (табл. 1, обр. 49067; рис. 5) содержат хорошо сохранившиеся вкрапленники амфиболя с тонкими опацитовыми каймами и редкими образованиями типа «объемного разложения». Обнаружены включения (срастания?) высокоглиноземистой шпинели (табл. 2), в продуктах распада присутствует ренит. Среди продуктов распада преобладают наиболее железистые составы оливина (Fo_{70-80}) и клинопироксена ($Mg\# 77-83$). Оливин характеризуется повышенным содержанием Ca и Mn (рис. 6, а, б), а клинопироксен — Mn (рис. 6, в). В области «объемного разложения» наблюдаются мелкие зерна оливина и клинопироксена с повышенной магнезиальностью (Fo_{82-87}) и ($Mg\# 85-91$). Первые отличаются резко повышенными содержаниями MnO и CaO (рис. 6, а, б), вторые, наоборот, имеют крайне низкие концентрации MnO (табл. 5). Присутствие малоизмененных вкрапленников амфиболя свидетельствует о большой водонасыщенности соответствующих расплавов и незначительной фугитивности кислорода при их быстрой кристаллизации (о чем свидетельствуют вrostки глиноземистой шпинели).

2. Амфиболсодержащие гавайиты некка (табл. 1, обр. 155; рис. 5) состоят из отдельных кластоподобных плохо различимых обособлений, одни из которых содержат хорошо сохранившиеся реликтовые формы вторичного разложения амфибала, в других найдены одиночные вкрапленники магнезиально-го оливина (Fo_{83-85}) и умеренно магнезиального клинопироксена ($Mg\# 80-85$) с включениями высокоглиноземистой шпинели ($Al_2O_3 = 53-55\%$). Ренит отсутствует. Здесь сохраняется еще генерация железистого оливина (Fo_{75-70}), но появляется резко выраженный наложенный максимум Fo_{85} . Это состав близок к составу оливина, обнаруженного в зоне «объемного разложения» амфибала из обр. 49067 и, по-видимому, отвечает оливину, образованному в обстановке частичного или полного разложения амфибала. Для клинопироксена также наблюдается появление четко выраженного максимума Cpx $Mg\# = 85-90$, который является новообразованным, так как пироксены с магнезиальностью $Mg\#80-85$ несут включения высокоглиноземистой шпинели, т. е. являются ранней генерацией. Содержания MnO и CaO в оливине здесь также высокие (рис. 6, *a, b*), и в области аномальных составов (Fo_{80-85}) наблюдаются резко повышенные концентрации CaO и пониженные — MnO . Для клинопироксена видна аномалия по марганцу (рис. 6, *c*) в области как железистых, так и магнезиальных составов. Расплавы некка по своей водонасыщенности еще близки к расплавам гавайитов конуса, но здесь уже проявилась максимальная окисленность системы (рис. 5, *c*, обр. 155), поэтому амфибол остается только в форме реликтов.

3. Амфиболсодержащие гавайиты дайки (табл. 1, рис. 5, обр. 156) с редкими, едва различимыми реликтовыми формами амфибала характеризуются наличием умеренно магнезиального клинопироксена ($Mg\#83-87$), несущего включения высокоглиноземистой шпинели ($Al_2O_3 = 53-57$ мас. %), и присутствием ренита.

4. В безамфиболовом гавайите дайки (табл. 1, рис. 5, обр. 150) также наблюдается один максимум, но более железистых составов клинопироксена ($Mg\#78-83$), при этом амфибол, возможно, полностью диссоциирован. Для оливинов наблюдается два четко выраженных максимума: Fo_{85} и Fo_{65} (рис. 5, *a*, обр. 156, 150). Оба максимума сопровождаются повышенными содержаниями Ca и Mn , особенно высокими в области железистых составов (рис. 6, *a, b*). Вкрапленник магнезиального оливина ($Fo_{82.6}$) в обр. 150 содержит хром-глиноземистую шпинель ($Al_2O_3 = 35.6$ мас. %), т.е. этот оливин является первичным.

В дайке, по-видимому, проявлена несколько большая дифференцированность расплавов в обстановке большой окисленности системы, хотя высокомагнезиальный оливин с включением глиноземистой шпинели (обр. 150) относится к ранней генерации субфенокристаллов, а клинопироксен с магнезиальностью $Mg\#80-85$, несущий включения высокоглиноземистой шпинели, является обычным минералом безамфиболовых гавайитов.

5. Безамфиболовый гавайит — поток из того же конуса, что и в пункте 1 (табл. 1, рис. 5, обр. 49065), никаких следов былого присутствия амфибала не обнаруживает. В оливине наблюдается хорошо выраженный максимум Fo_{77-83} , который соответствует предельному составу вкрапленников этого минерала в безамфиболовых гавайитах ($Fo_{82.6}$). Максимумы в пироксене также совпадают для обр. 150 и 49065 ($Mg\#77-85$). И оливин, и пироксен характеризуются невысокими содержаниями MnO и CaO (рис. 6, обр. 49065). Этот тип пород достаточно индивидуализирован и, вероятно, связан с маловодной (после отделения летучих) и умеренно окисленной магмой (рис. 5, *c*).

Попробуем оценить диапазон фугитивностей кислорода при кристаллизации пород массива Кекукнай. Для этого можно использовать полученную Г. Симакиным с соавторами (Simakin et al., 2012a) зависимость f_{O_2} (ΔNNO) от общей окисленности клинопироксена (Fe^{3+}/Fe_{tot}). Для вычислений фугитивности используем уравнение 3 из цитируемой работы (Simakin et al., 2012a, fig. 6). Полученные гистограммы распределения параметра ΔNNO для разных пород массива Кекукнай представлены на рис. 5. Как можно видеть из этих данных, параметр ΔNNO в основном лежит в области $-1 \div +2$, со средним значением $NNO = 1$, что в общем совпадает с предыдущей оценкой этого значения по рениту и геотермометру Ридольфи с соавторами (Ridolfi et al., 2010) по амфиболу и является обычным значением для магм островодужного типа. Обращает на себя внимание хорошая сходимость графиков (рис. 5, б, в). Повышение фугитивности системы сопровождается не только возрастанием отношения (Fe^{3+}/Fe_{tot}), но и увеличением магнезиальности пироксена.

ВЫВОДЫ

Использование амфибала как минерала, чутко реагирующего на характер изменения окружающей обстановки, позволило восстановить картину различных стадий эволюции изначально водонасыщенного базальтового (гавайитового) расплава в условиях его быстрого подъема к земной поверхности. Присутствие или отсутствие амфибала является важным фактором, контролирующим состав расплава, структурные и минералогические особенности кристаллизующихся при этом пород. Согласно экспериментальным данным (Barclay, Carmichael, 2004), раннее появление амфибала в базальтовом расплаве и его последовательная кристаллизация по мере охлаждения системы сопровождаются уменьшением кристалличности оливина и пироксена и существенным подавлением роли плагиоклаза. Эти выводы хорошо согласуются с данными по камчатским гавайитам, в которых вкрапленники амфибала ассоциируют с редкими субфенокристами оливина или клинопироксена, а также данными по безамфиболовым гавайитам и муджиеритам, в которых в составе ранней кристаллической фазы дополнительно появляется плагиоклаз. Кристаллизация амфибала и последующая его диссоциация не приводят, однако, к резкому возрастанию общей кристалличности пород, как это постулируется Дж. Барклаем и С. Кармайклом (Barclay, Carmichael, 2004), вероятно, вследствие быстрого выведения расплавов к земной поверхности. Тем не менее этап разложения амфибала сопровождается возникновением новых кристаллических фаз — высокомагнезиальных оливина и пироксена, плагиоклаза, ренита и титаномагнетита. Важным для реконструкции процессов петрогенеза является факт появления «аномальных» по отношению к составам вмещающих пород высокомагнезиальных минералов. Подобного рода составы минералов в базальтах обычно рассматриваются как показатель вторичного нагрева системы и связываются с поступлением в магматический очаг дополнительной более нагретой порции расплава (Murphy et al., 2000; Rutherford, Devine, 2003; Плечов и др., 2008, и др.). Анализ материалов по камчатским гавайитам показал, что появление такой генерации минералов (оливина и клинопироксена) возможно в изотермической обстановке при значительном увеличении фугитивности кислорода. Существенной особенностью этих минеральных фаз являются также высокие концентрации Ca и Mn, что в свою

очередь также можно рассматривать как показатель высокой окисленности системы. Существует много примеров образования высокомагнезиального оливина (близкого к форстериту) при кристаллизации базальтов в условиях высокой окисленности расплава (Sigurdsson, Brown, 1970; Lange, Carmichael, 1990; Cortes et al., 2006; Blonder et al., 2012). Эти факты следует учитывать в моделях петрогенезиса.

Полученные при экспериментальных исследования амфиболсодержащих базальтов западной Мексики (Barclay, Carmichael, 2004) составы стекол являются нефелин-нормативными при высоких температурах и последовательно меняются до гиперстен— и кварц-нормативных при понижении температуры, что является следствием осаждения роговой обманки, которая весьма обеднена кремнеземом. Как видно в табл. 1, при переходе от амфиболсодержащих гавайитов к безамфиболовым гавайитам и муджиеритам также наблюдается возрастание кремнекислотности пород, которое сопровождается уменьшением титанистости. Состав остаточных стекол в агломерате распада отвечает андезибазальту — андезиту с высоким содержанием щелочей. Эти особенности составов можно объяснить фракционированием низкокремнезистых, высокотитанистых амфиболов.

Список литературы

- Ананьев В. В., Селянгин О. Б. Ренит в расплавных включениях из оливина алливалитовых нодулей вулкана Малый Семячик и базальтов вулкана Ключевской (Камчатка) // Вулканология и сейсмология. 2011. № 5. С. 1—7.
- Добрецов Н. Л., Кочкин Ю. Н., Кривенко А. П., Кутолин В. А. Породообразующие пироксены М.: Наука, 1971. 454 с.
- Колосков А. В., Флеров Г. Б., Перепелов А. Б., Мелекесцев И. В., Пузанков М. Ю., Философова Т. М. Этапы эволюции и петрология Кекукнайского вулканического массива как отражение магматизма тыловой зоны Курило-Камчатской островодужной системы. Часть 1. Геологическое положение и геохимический состав вулканических пород // Вулканология и сейсмология. 2011. № 5. С. 17—41.
- Колосков А. В., Флеров Г. Б., Перепелов А. Б., Мелекесцев И. В., Пузанков М. Ю., Философова Т. М. Этапы эволюции и петрология Кекукнайского вулканического массива как отражение магматизма тыловой зоны Курило-Камчатской островодужной системы. Часть 2. Петролого-минералогические особенности, обобщающая модель // Вулканология и сейсмология. 2013. № 2. С. 63—89.
- Плечов П. Ю., Цай А. Е., Щербаков В. Д., Дирксен О. В. Роговые обманки в андезитах извержения 30 марта 1956 г. вулкана Безымянный и условия их опацитизации // Петрология. 2008. Т. 16. № 1. С. 21—37.
- Шарыгин В. В., Комай К., Сабо Ч. и др. Ренит в щелочных базальтах: включения расплава в фенокристах оливина // Геология и геофизика. 2011. Т. 52. № 11. С. 1695—1717.
- Allietti M., Pompilio M., Rotolo S. G. Mafic and ultramafic enclaves in Ustica Island lavas: Inferences on composition of lower crust and deep magmatic processes // Lithos. 2005. Vol. 84. P. 151—167.
- Arculus R. J., Delong S. E., Kay R. W., Brooks C., Sun S. S. The alcalic rock suite of Bogoslof Island, Eastern Aleutian Arc, Alaska // J. Geol. 1977. Vol. 85. P. 177—186.
- Barclay J., Carmichael S. E. A Hornblende basalt from Western Mexico: Water-saturated phase relations constrain a pressure-temperature window of eruptibility // J. Petrol. 2004. Vol. 45. N 3. P. 485—506.
- Blondel M. S., Brandon M. T., Reiners M. S. et al. Generation of forsteritic olivine (Fo_{99.8}) by subsolidus oxidation in basaltic flows // J. Petrol. 2012. Vol. 53. N 5. P. 971—984.
- Boivin P. Donnees experimentales preliminaires sur la stabilite de larhonite a 1 atmosphere. Application aux gisements naturels // Bull. Miner. 1980. Vol. 103. P. 491—502.
- Buckley V. J. E., Sparks R. S. J., Wood B. J. Hornblende dehydration reactions during magma ascent at Soufriere Hills Volcano, Montserrat // Contrib. Miner. Petrol. 2006. Vol. 151. P. 121—140.

- Corsaro R. A., Miraglia L., Pompilio M.* Petrologic evidence of a complex plumbing system feeding the July—August 2001 eruption of Mt. Etna, Sicily, Italy // Bull. Volcanol. **2007**. Vol. 69. P. 401—421.
- Cortes J. A., Wilson M., Condliffe E., et al.* The occurrence of forsterite and highly oxidizing coditions in basaltic lavas from Stromboli Volcano, Italy // J. Petrol. **2006**. Vol. 47. P. 1345—1373.
- Garcia M. O., Jacobson S. S.* Crystal clots, amphibole fractionation and the evolution of calc-alkaline magmas // Contrib. Miner. Petrol. **1979**. Vol. 69. P. 319—327.
- Grapes R. H., Wysoczanski R. J., Hoskin P. W. O.* Rhonite paragenesis in pyroxenite xenoliths, Mount Sidney volcano, Marie Byrd Land, West Antarctica // Miner. Mag. **2003**. Vol. 67(4). P. 639—651.
- Hawthorne F. C., Oberti R., Harlow G. E. et al.* Nomenclature of the amphibole supergroup // Amer. Miner. **2012**. Vol. 97. P. 2031—2048.
- Johnston A. D., Stout J. H.* Compositional variation of naturally occurring rhonite // Amer. Miner. **1985**. Vol. 70. P. 1211—1216.
- Kunzmann T., Spicker G., Huckenholz H. G.* Stabilitat von rhonit in naturlichen und synthetischen paragenesen // Fortsch. Miner. **1986**. Vol. 64 (1). P. 92—92.
- Kunzmann Th.* The aenigmatite-rhonite mineral group // Eur. J. Miner. **1999**. Vol. 11. P. 743—756.
- Lange R. A., Carmichael I. S. E.* Hydrous basaltic andesites associated with minette and related lavas in Western Mexico // J. Petrol. **1990**. Vol. 31. P. 1225—1259.
- Leake B. E., Woolley A. R., Arps C. E. S., et al.* Nomenclature of amphiboles: report of the subcommittee on amphiboles of the International Mineralogical Association, commission on new minerals and mineral names // The Canad. Miner. **1997**. Vol. 35. P. 219—246.
- Luhr J. F., Carmichael S. E.* Jorullo Volcano, Michoacan, Mexico (1759—1774): The earliest stages of fractionation in calc-alkaline magmas // Contrib. Mineral. Petrol. **1985**. Vol. 50. P. 142—161.
- Mineral Data Publishing, 2001.* Version 1.2. <http://www.handbookofmineralogy.org/pdfs/rhoni-te.pdf>
- Murphy M. D., Sparks R. S. J., Barclay J. et al.* Remobilization of andesite magma by intrusion of mafic magma at the Soufriere Hills Volcano, Montserrat, West Indies // J. Petrol. **2000**. Vol. 41. P. 21—42.
- Ridolfi F., Renzulli A., Puerini M.* Stability and chemical equilibrium of amphibole in calc-alkaline magmas: an overview, new thermobarometric formulations and application to subduction-related volcanoes // Contrib. Miner. Petrol. **2010**. Vol. 160. P. 45—66.
- Rutherford M. J., Hill P. M.* Magma ascent rates from amphibole breakdown an experimental study applied to the 1980—1986 Mount St. Helens eruptions // J. Geophys. Res. **1993**. Vol. 98. N B11. P. 19 667—19 685.
- Rutherford M. J., Devine J. D.* Magmatic conditions and magma ascent as indicated by hornblende phase equilibria and reactions in the 1995—2002 Soufriere Hills magma // J. Petrol. **2003**. Vol. 44. P. 1433—1454.
- Shaw C. S. J., Klügel A.* The pressure and temperature conditions and timing of glass formation in mantle-derived xenoliths from Baarley, West Eifel, Germany: the case for amphibole breakdown, lava infiltration and mineral-melt reaction // Miner. Petrol. **2002**. Vol. 74. P. 163—187.
- Sigurdsson H., Brown G. M.* An unusual enstatite-forsterite basalt from Kolbeinsey Island, North of Iceland // J. Petrol. **1970**. Vol. 11. P. 205—220.
- Sigurdsson H., Shepherd J. B.* Amphibole-bearing basalts from the submarine volcano Kick' Em Jenny in the Lesser Antilles Island Arc // Bull. Volcanol. **1974**. Vol. 38. P. 891—910.
- Simakin G., Salova T. P., Bondarenko G. V.* Experimental study of magmatic melt oxidation by CO₂ // Petrology. **2012a**. Vol. 20. P. 593—606.
- Simakin G., Zakrevskaya O., Salova T.* Novel amphibole geo-barometer with application to mafic xenoliths // Earth Sci. Res. **2012b**. Vol. 1. P. 82—97.
- Stewart D. C.* Crystal clots in calc-alkaline andesites as breakdown products of high-Al amphiboles // Contrib. Miner. Petrol. **1975**. Vol. 53. P. 195—204.
- Viccaro M., Ferlito C., Cristofolini R.* Amphibole crystallization in the Etna feeding system: mineral chemistry and trace element partitioning between Mg-hastingsite and alkali basaltic melt // Eur. J. Miner. **2007**. Vol. 19. P. 499—511.
- Whitney D. L., Evans B. W.* Abbreviations for names of rock-forming minerals // Amer. Miner. **2010**. Vol. 95. P. 185—187.

Поступила в редакцию
16 мая 2013 г.